

УДК 532.5.013.4:536.25

**ВИБРАЦИОННО-КОНВЕКТИВНАЯ НЕУСТОЙЧИВОСТЬ
ГОРИЗОНТАЛЬНОГО СЛОЯ ЖИДКОСТИ С ВНУТРЕННИМИ
ИСТОЧНИКАМИ ТЕПЛА**

ГЕРШУНИ Г. З., ЖУХОВИЦКИЙ Е. М., КОЛЕСНИКОВ А. К.

Конвективное движение неизоотермической жидкости, находящейся в поле тяжести в полости, совершающей вибрации, вызывается двумя механизмами: обычным статическим и вибрационным. Этими же механизмами обусловлен и кризис механического равновесия в тех условиях, когда такое равновесие возможно. Обзор работ по этим вопросам содержится в [1]. Рассмотренные до сих пор задачи вибрационно-конвективной устойчивости относились к случаям, когда неизоотермичность создавалась заданием температуры на границах области. В данной работе исследуется вибрационно-конвективная устойчивость равновесия жидкости, в которой неоднородность температуры вызвана внутренним тепловыделением.

Плоский бесконечный горизонтальный слой жидкости с однородно распределенными по объему внутренними источниками тепла (мощность тепловыделения Q) заключен между параллельными твердыми плоскостями $z=0$ и $z=h$ (начало координат выбрано на нижней плоскости; ось z направлена вертикально вверх). Слой жидкости совершает гармонические высокочастотные вибрации с угловой частотой Ω и амплитудой смещения b вдоль фиксированного направления \mathbf{n} , составляющего с горизонтальной осью x угол α .

Безразмерные уравнения для осредненных полей скорости \mathbf{v} , температуры T , конвективного давления p и вектора \mathbf{w} (соленоидальной части векторного поля $T\mathbf{n}$) имеют вид

$$\frac{\partial \mathbf{v}}{\partial t} + \frac{1}{P}(\mathbf{v}\nabla)\mathbf{v} + R_v[(\mathbf{w}\nabla)\mathbf{w} - (\mathbf{w}\nabla T)\mathbf{n}] = -\nabla p + \Delta \mathbf{v} + R_q T \boldsymbol{\gamma} \quad (1)$$

$$P \frac{\partial T}{\partial t} + \mathbf{v}\nabla T = \Delta T + 1$$

$$T\mathbf{n} = \mathbf{w} + \nabla \varphi, \quad \text{div } \mathbf{v} = 0, \quad \text{div } \mathbf{w} = 0$$

$$R_q = \frac{g\beta Q h^3}{\nu \chi^2}, \quad R_v = \frac{(\beta b \Omega Q h^3)^2}{2\nu \chi^3}, \quad P = \frac{\nu}{\chi}$$

Здесь R_q — число Рэлея, характеризующее конвекцию, обусловленную внутренним тепловыделением, в статическом поле тяжести; R_v — его вибрационный аналог; P — число Прандтля; остальные обозначения общепринятые. При записи системы уравнений выбраны следующие единицы: h — расстояние, h^2/ν — время, χ/h — скорость, Qh^2/χ — температура, $\rho\nu\chi/h^2$ — давление.

На границах слоя выполняются условия прилипания и обращения в нуль нормальной компоненты вектора \mathbf{w} , а замкнутость пульсационной компоненты потока дает условия для его горизонтальных компонент

$$z=0, z=1: v=0, w_z=0 \quad (2)$$

$$\int_0^1 w_x dz = \int_0^1 w_y dz = 0 \quad (3)$$

Далее будут рассмотрены два варианта граничных условий для температуры: либо обе границы поддерживаются при одинаковых постоянных температурах, принимаемых за начало отсчета, либо верхняя граница поддерживается при постоянной температуре, а нижняя граница теплоизолирована

$$z=0, z=1: T=0 \quad (4)$$

$$z=0: \frac{\partial T}{\partial z}=0; \quad z=1: T=0 \quad (5)$$

Необходимые условия механического равновесия вытекают из системы (1) и имеют вид

$$R_q(\nabla T_0 \times \boldsymbol{\gamma}) + R_v[\nabla(\mathbf{w}_0 \mathbf{n}) \times \nabla T_0] = 0, \quad \Delta T_0 = -1 \\ \operatorname{div} \mathbf{w}_0 = 0, \quad \operatorname{rot} \mathbf{w}_0 = \nabla T_0 \times \mathbf{n}$$

Здесь T_0, \mathbf{w}_0 — равновесные поля.

При указанных выше условиях возможно механическое равновесие; равновесные поля для двух названных вариантов условий подогрева таковы

$$T_0 = \frac{1}{2}z(1-z), \quad w_{0y} = w_{0z} = 0 \quad (6)$$

$$w_{0x} = w_0 = \frac{1}{12}(-1+6z-6z^2) \cos \alpha$$

$$T_0 = \frac{1}{2}(1-z^2), \quad w_{0y} = w_{0z} = 0 \quad (7)$$

$$w_{0x} = w_0 = \frac{1}{6}(1-3z^2) \cos \alpha$$

Для исследования устойчивости равновесий (6) и (7) рассмотрим малые возмущения. По аналогии с задачей устойчивости в слое с разными температурами на границах [2] можно думать, что наиболее опасными являются плоские возмущения $\mathbf{v}(v_x, 0, v_z)$, $\mathbf{w}(w_x, 0, w_z)$, T и p , не зависящие от координаты y . Линеаризуя систему (1) около состояния механического равновесия (6) или (7), вводя нормальные возмущения вида $\exp(-\lambda t + ikx)$ и исключая давление и горизонтальные компоненты v_x и w_x , получим спектральную задачу для амплитуд v, w, θ возмущений v_z, w_z, T

$$-\lambda \Delta v + R_q T_0' (ik \cos \alpha w' + k^2 \sin \alpha w - k^2 \cos^2 \alpha \theta) = \Delta^2 v - k^2 R_q \theta \quad (8)$$

$$-\lambda P \theta + T_0' v = \Delta \theta$$

$$ik \cos \alpha \theta' + k^2 \sin \alpha \theta = -\Delta w \quad (\Delta = d^2/dz^2 - k^2)$$

$$z=0, z=1: v=v'=0, w=0$$

$$z=0, z=1: \theta=0 \quad (9)$$

$$z=0: \theta'=0; \quad z=1: \theta=0 \quad (10)$$

Для каждого из двух вариантов система (8) содержит свой невозмущенный профиль температуры T_0 — соответственно (6) либо (7). Спектральные задачи (8), (9) или (8), (10) определяют декремент λ как функцию остальных параметров: R_q , R_v , P , α и k . Граница устойчивости равновесия находится из условия обращения в нуль вещественной части декремента λ_r ; мнимая часть λ_i при этом дает частоту нейтральных колебаний.

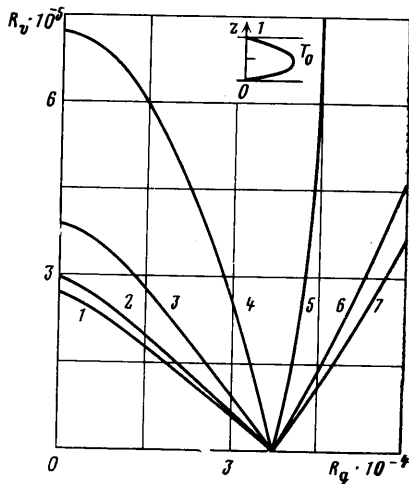
Спектральные задачи (8), (9) и (8), (10) интегрировались численно методом Рунге — Кутты — Мерсона. В ходе решения находились характеристические декременты λ , а также границы устойчивости и другие параметры критических возмущений.

Рассмотрим сначала случай слоя с обеими изотермическими границами (задача (8), (9)). Предельный случай $R_v=0$ соответствует отсутствию вибрации. При этом получается задача о конвективном слое с однородным тепловыделением в статическом поле тяжести. Неустойчивость в этом случае имеет монотонный характер ($\lambda_i=0$). Минимальное по волновому числу k критическое число Рэлея $R_{qm}=37,33 \cdot 10^3$, а минимальное волновое число $k_m=4,00$, что хорошо согласуется с результатами [3]. Другой предельный случай соответствует отсутствию статической силы тяжести $R_q=0$ (полная невесомость). Порог конвекции при этом связан с вибрационным механизмом и определяется критическим значением числа R_v , которое зависит от направления оси вибрации. Неустойчивость в этом предельном случае также монотонна; критические параметры в зависимости от угла наклона α приведены ниже:

α°	0	10	20	30	40	50	60	70	80	90
$R_{vm} \cdot 10^{-3}$	269,3	278,3	311,7	388,1	558,4	993,3	$2,458 \cdot 10^3$	$10,51 \cdot 10^3$	$153,1 \cdot 10^3$	∞
k_m	4,35	4,34	4,24	4,00	3,59	3,00	2,25	1,48	0,72	0

Наименьшая устойчивость соответствует продольным вибрациям ($\alpha=0^\circ$); с увеличением угла α критическое число R_{vm} монотонно возрастает вплоть до абсолютной стабилизации при поперечной вибрации ($\alpha=90^\circ$). Ситуация, таким образом, вполне аналогична имеющей место в случае вибрационно-конвективной неустойчивости в невесомости в слое с границами разной температуры [2].

При произвольных значениях R_q и R_v неустойчивость обусловлена совместным действием статического и вибрационного механизмов конвекции. Границы устойчивости равновесия на плоскости (R_q , R_v) по отношению к наиболее опасным по волновому числу k возмущениям представлены на фиг. 1 для разных направлений оси вибрации (кривые 1—7 соответствуют углам $\alpha=0, 15, 30, 45, 60, 75, 90^\circ$; область устойчивости примыкает к началу координат). Из симметрии задачи ясно, что кривые устойчивости симметричны относительно оси R_v .



Фиг. 1

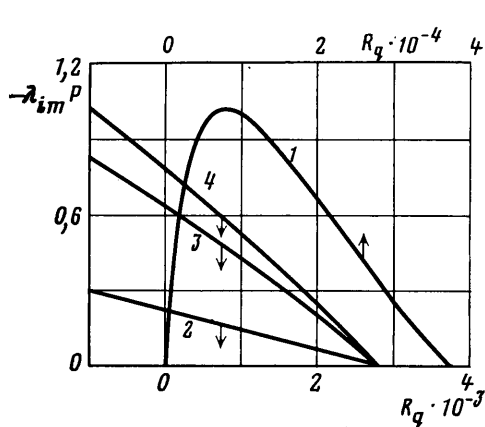
В отличие от случая слоя с разными температурами границ неустойчивость (за исключением продольного и поперечного направлений оси вибрации) имеет осциллирующий характер ($\lambda_i \neq 0$). Таким образом, при произвольных R_q и R_v на границе устойчивости возникают возмущения в виде валов, дрейфующих с фазовой скоростью $c=\lambda_i/k$. График зависимости λ_i от R_q вдоль границы устойчивости, соответствующей наклону оси вибрации $\alpha=15^\circ$, представлен на фиг. 2, кривая 1. Дрейф конвективных валов происходит в направлении, противоположном оси x .

В случае колебательных возмущений критическое значение параметра устойчивости (R_q и R_v) зависит, вообще говоря, от числа Прандтля P . Кривые на фиг. 1, а также на фиг. 2 (кривая 1) относятся к значению $P=1$. Расчеты, проведенные в интервале $0,1 \leq P \leq 10$, показывают, что границы устойчивости и критические волновые числа практически не зависят от P .

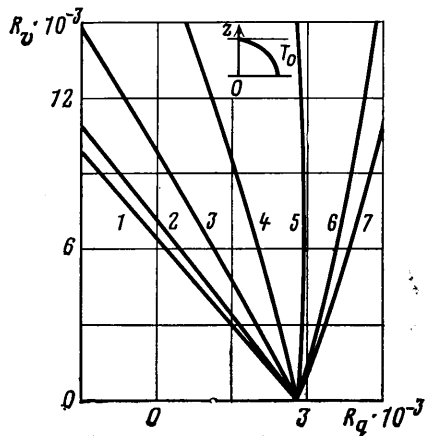
Перейдем теперь к рассмотрению слоя с изотермической и теплоизолированной границами (задача (8), (10)). В пределе $R_v=0$ (неустойчивость в статическом поле тяжести) имеем $R_{qm}=2,772 \cdot 10^3$; $k_m=2,63$ в соответствии с [4]. При полной невесомости ($R_q=0$) в отличие от случая обеих изотермических границ неустойчивость имеет колебательный характер при всех α , кроме $\alpha=0$ и 90° . Характеристики неустойчивости приведены ниже:

α°	0	10	20	30	40	50	60	70	80	90
$R_{vm} \cdot 10^{-3}$	6,394	6,675	7,651	9,783	14,43	25,98	63,22	259,5	3607	∞
k_m	2,63	2,60	2,52	2,37	2,11	1,74	1,31	0,87	0,44	0
λ_{im}	0	-0,41	-0,86	-1,37	-1,95	-2,47	-2,81	-3,00	-3,05	0

Кривые устойчивости на плоскости (R_q, R_v) для разных α представлены на фиг. 3 (кривые 1-7 соответствуют $\alpha=0, 15, 30, 45, 60, 75, 90^\circ$). Как и в случае задачи (8), (9), практически отсутствует зависимость гра-



Фиг. 2



Фиг. 3

ницы устойчивости от числа Прандтля, однако диаграмма устойчивости не обладает симметрией относительно оси R_v . Левая часть диаграммы ($R_q < 0$) соответствует отрицательной мощности источников тепла, поэтому профиль температуры (7) отвечает нагреву сверху, приводящему к стабилизации вибрационно-конвективного механизма. Физически понятно, что левая часть диаграммы описывает ситуацию, при которой в слое происходит положительное тепловыделение, однако верхняя граница является теплоизолированной, а нижняя — изотермической.

На фиг. 2 приведена зависимость частоты нейтральных колебаний вдоль границы устойчивости $\alpha=15^\circ$ (кривые 2, 3, 4 отвечают значениям числа Прандтля $P=0,1; 1; 10$). В отличие от критических чисел Рэлея и волновых чисел частота нейтральных колебаний заметно зависит от P .

В заключение заметим, что в обоих рассмотренных вариантах условий нагрева в случае поперечного направления оси вибрации ($\alpha=90^\circ$) роль вибрации сводится к стабилизации обычного рэлеевского механизма не-

устойчивости. При больших значениях R_0 имеет место следующая асимптотическая зависимость: $R_{qm} \sim \sqrt{R_0}$. Если для описания вибрационного воздействия ввести не зависящий от условий нагрева безразмерный вибрационный параметр $\kappa = b\Omega\sqrt{\nu\chi}/gh^2 = \sqrt{2R_0}/R_q$, то указанная выше асимптотика означает, что по достижении параметром κ некоторого предельного значения κ_c критическое число $R_{qm} \rightarrow \infty$, т. е. наступает абсолютная стабилизация. Согласно расчетам, в задачах (8), (9) и (8), (10) $\kappa_c = 0,01779$ и $0,04874$ соответственно.

ЛИТЕРАТУРА

1. Гершуни Г. З., Жуховицкий Е. М. Вибрационная тепловая конвекция в невесомости.— В кн.: Гидромеханика и процессы переноса в невесомости. Свердловск, 1983, с. 86–105.
2. Гершуни Г. З., Жуховицкий Е. М. О конвективной неустойчивости жидкости в вибрационном поле в невесомости.— Изв. АН СССР. МЖГ, 1981, № 4, с. 12–19.
3. Sparrow E. M., Goldstein K. J., Jonsson V. K. Thermal instability in a horizontal fluid layer: effect of boundary conditions and non-linear temperature profile.— J. Fluid Mech., 1964, v. 18, № 4, p. 513–528.
4. Roberts P. H. Convection in horizontal layers with internal heat generation. Theory.— J. Fluid Mech., 1967, v. 30, № 1, p. 33–49.

Пермь

Поступила в редакцию
28.XI.1984